

Starkniederschlagshöhen und -spenden gemäß KOSTRA-DWD-2020

Rasterfeld 140181

(Zeile 140, Spalte 181)

Regenspende und Bemessungsniederschlagswerte in Abhängigkeit von Wiederkehrzeit T und Dauerstufe D

| Dauerstufe D | | Wiederkehrzeit T | | | | | | | | | | | | | | | | | |
|--------------|-----|------------------|------------|------|------------|------|------------|------|------------|------|------------|-------|------------|-------|------------|-------|------------|-------|------------|
| | | 1 a | | 2 a | | 3 a | | 5 a | | 10 a | | 20 a | | 30 a | | 50 a | | 100 a | |
| min | Std | mm | l / (s ha) | mm | l / (s ha) | mm | l / (s ha) | mm | l / (s ha) | mm | l / (s ha) | mm | l / (s ha) | mm | l / (s ha) | mm | l / (s ha) | mm | l / (s ha) |
| 5 | | 7,7 | 256,7 | 9,7 | 323,3 | 11,0 | 366,7 | 12,6 | 420,0 | 15,0 | 500,0 | 17,4 | 580,0 | 19,0 | 633,3 | 21,1 | 703,3 | 24,1 | 803,3 |
| 10 | | 10,0 | 166,7 | 12,7 | 211,7 | 14,3 | 238,3 | 16,4 | 273,3 | 19,5 | 325,0 | 22,6 | 376,7 | 24,7 | 411,7 | 27,4 | 456,7 | 31,3 | 521,7 |
| 15 | | 11,4 | 126,7 | 14,4 | 160,0 | 16,2 | 180,0 | 18,7 | 207,8 | 22,2 | 246,7 | 25,8 | 286,7 | 28,1 | 312,2 | 31,2 | 346,7 | 35,6 | 395,6 |
| 20 | | 12,4 | 103,3 | 15,7 | 130,8 | 17,7 | 147,5 | 20,3 | 169,2 | 24,1 | 200,8 | 28,0 | 233,3 | 30,6 | 255,0 | 33,9 | 282,5 | 38,7 | 322,5 |
| 30 | | 13,9 | 77,2 | 17,5 | 97,2 | 19,7 | 109,4 | 22,7 | 126,1 | 26,9 | 149,4 | 31,3 | 173,9 | 34,1 | 189,4 | 37,9 | 210,6 | 43,2 | 240,0 |
| 45 | | 15,4 | 57,0 | 19,4 | 71,9 | 21,9 | 81,1 | 25,1 | 93,0 | 29,8 | 110,4 | 34,6 | 128,1 | 37,8 | 140,0 | 42,0 | 155,6 | 47,9 | 177,4 |
| 60 | 1 | 16,5 | 45,8 | 20,8 | 57,8 | 23,4 | 65,0 | 26,9 | 74,7 | 32,0 | 88,9 | 37,2 | 103,3 | 40,5 | 112,5 | 45,0 | 125,0 | 51,4 | 142,8 |
| 90 | 1,5 | 18,1 | 33,5 | 22,9 | 42,4 | 25,8 | 47,8 | 29,6 | 54,8 | 35,2 | 65,2 | 40,9 | 75,7 | 44,6 | 82,6 | 49,5 | 91,7 | 56,5 | 104,6 |
| 120 | 2 | 19,4 | 26,9 | 24,4 | 33,9 | 27,5 | 38,2 | 31,6 | 43,9 | 37,6 | 52,2 | 43,7 | 60,7 | 47,7 | 66,3 | 52,9 | 73,5 | 60,4 | 83,9 |
| 180 | 3 | 21,2 | 19,6 | 26,8 | 24,8 | 30,2 | 28,0 | 34,7 | 32,1 | 41,2 | 38,1 | 47,8 | 44,3 | 52,2 | 48,3 | 58,0 | 53,7 | 66,2 | 61,3 |
| 240 | 4 | 22,6 | 15,7 | 28,5 | 19,8 | 32,2 | 22,4 | 37,0 | 25,7 | 43,9 | 30,5 | 51,0 | 35,4 | 55,7 | 38,7 | 61,8 | 42,9 | 70,6 | 49,0 |
| 360 | 6 | 24,8 | 11,5 | 31,2 | 14,4 | 35,2 | 16,3 | 40,4 | 18,7 | 48,0 | 22,2 | 55,8 | 25,8 | 60,9 | 28,2 | 67,6 | 31,3 | 77,2 | 35,7 |
| 540 | 9 | 27,1 | 8,4 | 34,1 | 10,5 | 38,5 | 11,9 | 44,2 | 13,6 | 52,5 | 16,2 | 61,0 | 18,8 | 66,6 | 20,6 | 73,9 | 22,8 | 84,4 | 26,0 |
| 720 | 12 | 28,8 | 6,7 | 36,3 | 8,4 | 41,0 | 9,5 | 47,1 | 10,9 | 55,9 | 12,9 | 64,9 | 15,0 | 70,9 | 16,4 | 78,7 | 18,2 | 89,8 | 20,8 |
| 1080 | 18 | 31,5 | 4,9 | 39,7 | 6,1 | 44,8 | 6,9 | 51,4 | 7,9 | 61,0 | 9,4 | 70,9 | 10,9 | 77,4 | 11,9 | 85,9 | 13,3 | 98,1 | 15,1 |
| 1440 | 24 | 33,5 | 3,9 | 42,2 | 4,9 | 47,6 | 5,5 | 54,7 | 6,3 | 65,0 | 7,5 | 75,5 | 8,7 | 82,4 | 9,5 | 91,5 | 10,6 | 104,4 | 12,1 |
| 2880 | 48 | 38,9 | 2,3 | 49,1 | 2,8 | 55,4 | 3,2 | 63,6 | 3,7 | 75,5 | 4,4 | 87,8 | 5,1 | 95,8 | 5,5 | 106,3 | 6,2 | 121,4 | 7,0 |
| 4320 | 72 | 42,5 | 1,6 | 53,6 | 2,1 | 60,5 | 2,3 | 69,5 | 2,7 | 82,4 | 3,2 | 95,8 | 3,7 | 104,6 | 4,0 | 116,1 | 4,5 | 132,5 | 5,1 |
| 5760 | 96 | 45,2 | 1,3 | 57,0 | 1,6 | 64,3 | 1,9 | 73,9 | 2,1 | 87,7 | 2,5 | 102,0 | 3,0 | 111,3 | 3,2 | 123,5 | 3,6 | 141,0 | 4,1 |
| 7200 | 120 | 47,5 | 1,1 | 59,9 | 1,4 | 67,5 | 1,6 | 77,6 | 1,8 | 92,1 | 2,1 | 107,0 | 2,5 | 116,8 | 2,7 | 129,6 | 3,0 | 148,0 | 3,4 |
| 8640 | 144 | 49,4 | 1,0 | 62,3 | 1,2 | 70,2 | 1,4 | 80,7 | 1,6 | 95,8 | 1,8 | 111,3 | 2,1 | 121,5 | 2,3 | 134,9 | 2,6 | 154,0 | 3,0 |
| 10080 | 168 | 51,1 | 0,8 | 64,4 | 1,1 | 72,6 | 1,2 | 83,4 | 1,4 | 99,0 | 1,6 | 115,1 | 1,9 | 125,6 | 2,1 | 139,4 | 2,3 | 159,2 | 2,6 |

Starkniederschlagshöhen und -spenden gemäß KOSTRA-DWD-2020

Rasterfeld 140181

(Zeile 140, Spalte 181)

Örtliche Unsicherheiten in Abhängigkeit von Wiederkehrzeit T und Dauerstufe D

| Dauerstufe D | | Wiederkehrzeit T | | | | | | | | |
|--------------|-----|------------------|-----|-----|-----|------|------|------|------|-------|
| | | 1 a | 2 a | 3 a | 5 a | 10 a | 20 a | 30 a | 50 a | 100 a |
| min | Std | ± % | ± % | ± % | ± % | ± % | ± % | ± % | ± % | ± % |
| 5 | | 11 | 12 | 12 | 13 | 13 | 14 | 14 | 14 | 15 |
| 10 | | 13 | 15 | 16 | 17 | 18 | 19 | 19 | 20 | 20 |
| 15 | | 15 | 17 | 19 | 19 | 21 | 21 | 22 | 22 | 23 |
| 20 | | 17 | 19 | 20 | 21 | 22 | 23 | 24 | 24 | 25 |
| 30 | | 18 | 21 | 22 | 23 | 24 | 25 | 25 | 26 | 26 |
| 45 | | 19 | 22 | 23 | 24 | 25 | 26 | 26 | 27 | 27 |
| 60 | 1 | 19 | 22 | 23 | 24 | 25 | 26 | 27 | 27 | 28 |
| 90 | 1,5 | 19 | 22 | 23 | 24 | 25 | 26 | 26 | 27 | 28 |
| 120 | 2 | 19 | 21 | 22 | 23 | 25 | 26 | 26 | 27 | 27 |
| 180 | 3 | 18 | 21 | 22 | 23 | 24 | 25 | 25 | 26 | 26 |
| 240 | 4 | 18 | 20 | 21 | 22 | 23 | 24 | 25 | 25 | 26 |
| 360 | 6 | 17 | 19 | 20 | 21 | 22 | 23 | 24 | 24 | 25 |
| 540 | 9 | 16 | 18 | 19 | 20 | 21 | 22 | 22 | 23 | 23 |
| 720 | 12 | 15 | 17 | 18 | 19 | 20 | 21 | 22 | 22 | 23 |
| 1080 | 18 | 15 | 16 | 17 | 18 | 19 | 20 | 20 | 21 | 21 |
| 1440 | 24 | 14 | 16 | 17 | 18 | 19 | 19 | 20 | 20 | 21 |
| 2880 | 48 | 14 | 15 | 16 | 16 | 17 | 18 | 18 | 19 | 19 |
| 4320 | 72 | 14 | 15 | 15 | 16 | 17 | 17 | 18 | 18 | 19 |
| 5760 | 96 | 14 | 15 | 15 | 16 | 16 | 17 | 17 | 18 | 18 |
| 7200 | 120 | 14 | 15 | 15 | 16 | 16 | 17 | 17 | 18 | 18 |
| 8640 | 144 | 15 | 15 | 15 | 16 | 16 | 17 | 17 | 17 | 18 |
| 10080 | 168 | 15 | 15 | 15 | 16 | 16 | 17 | 17 | 17 | 18 |

Parameter für abweichende T und D

Lokationsparameter ξ (Xi)

16,8896293

Skalenparameter α (Alpha)

6,11455183

Formparameter κ (Kappa)

-0,1

1. Koutsoyiannis-Parameter θ (Theta)

0,03051417

2. Koutsoyiannis-Parameter η (Eta)

0,783871

Parameter für dauerstufenübergreifende Extremwertschätzung nach KOUTSOYIANNIS et al. 1998.

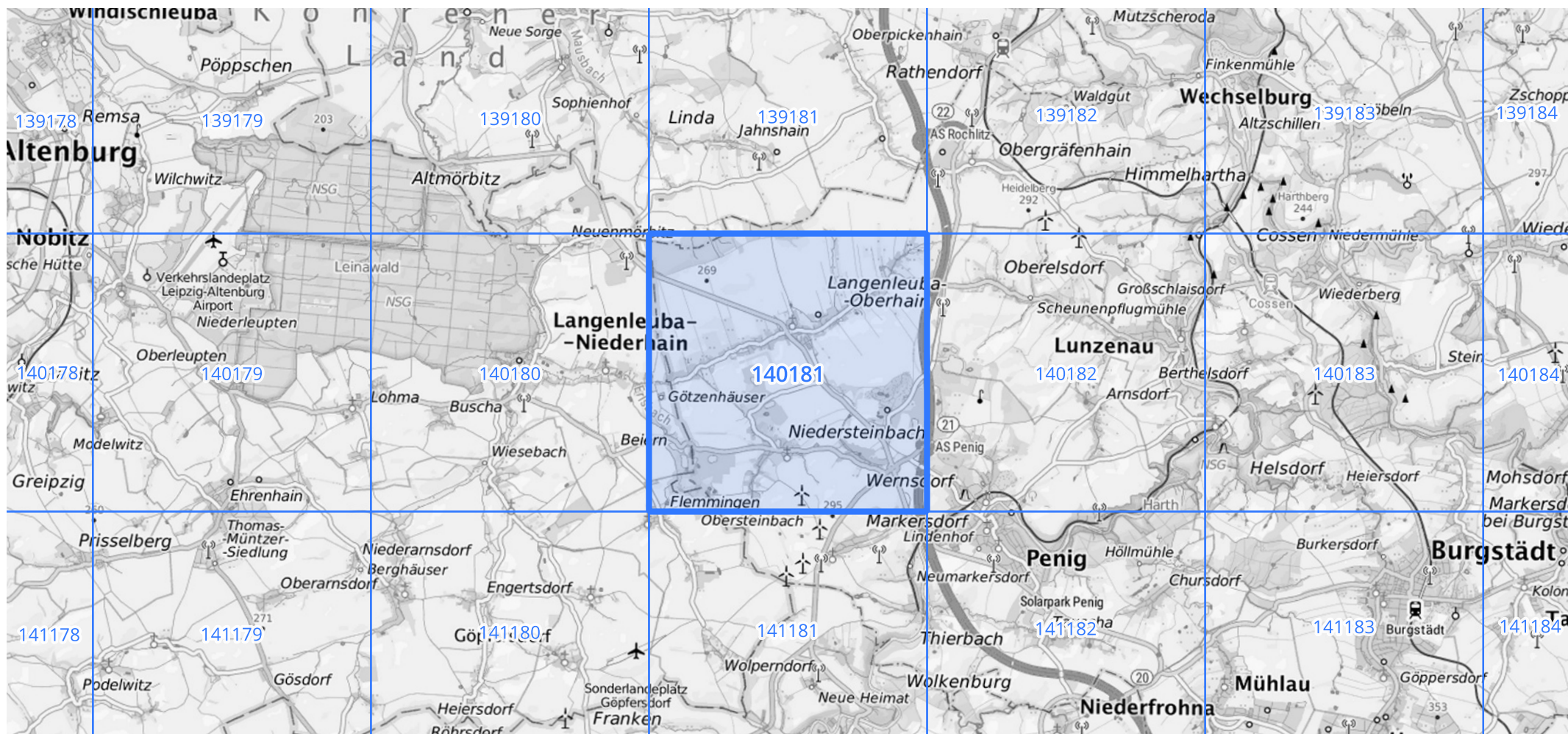
Siehe auch Anwendungshilfe zu KOSTRA-DWD-2020 des Deutschen Wetterdienstes.

Starkniederschlagshöhen und -spenden gemäß KOSTRA-DWD-2020

Rasterfeld 140181

(Zeile 140, Spalte 181)

Übersichtskarte des Rasterfeldes 140181, M 1 : 100 000



Quelle Rasterdaten: KOSTRA-DWD-2020 des Deutschen Wetterdienstes, Stand 12/2022.

Seite 3 von 3

Kartendarstellung: © Bundesamt für Kartographie und Geodäsie (2023), Datenquellen: https://sgx.geodatenzentrum.de/web_public/gdz/datenquellen/Datenquellen_TopPlusOpen.html

Für die Richtigkeit und Aktualität der Angaben wird keine Gewähr übernommen. Erstellt 01/2023.